

LAVORI DI COLLEGAMENTO TRA LA S.S.11 A MAGENTA E LA TANGENZIALE OVEST DI MILANO

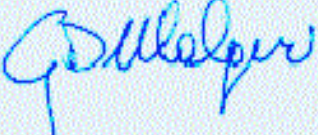
VARIANTE DI ABBIATEGRASSO E ADEGUAMENTO IN SEDE DEL TRATTO ABBIATEGRASSO-VIGEVANO FINO AL PONTE SUL FIUME TICINO

1° STRALCIO DA MAGENTA A VIGEVANO - TRATTA C

PROGETTO ESECUTIVO

	 <p>Ing. Valerio Bajetti Ordine degli Ingg. di Roma e provincia n° A-26211</p>	<p>ING. RENATO DEL PRETE</p> <p>Ing. Renato Del Prete Ordine degli Ingg. di Bari e provincia n° 5073</p>	 <p>Arch. Nicoletta Frattini Ordine degli Arch. di Torino e provincia n° A-8433</p>	 <p>Ing. Gabriele Inecchi Ordine degli Ingg. di Roma e provincia n° A-12102</p>
	<p>Ing. Renato Vaira (Ordine degli Ingg. di Torino e Provincia n° 4863 W)</p>	 <p>Società designata: GA&M</p> <p>Prof. Ing. Matteo Ranieri Ordine degli Ingg. di Bari e provincia n° 1137</p>	 <p>Prof. Ing. Luigi Monterisi Ordine degli Ingg. di Bari e provincia n° 1771</p>	 <p>Ing. Gioacchino Angarano Ordine degli Ingg. di Bari e provincia n° 5970</p>

VISTO: IL RESPONSABILE DEL PROCEDIMENTO



Dott. Ing. Giuseppe Danilo MALGERI

INTEGRATORE DELLE PRESTAZIONI SPECIALISTICHE



Ing. Valerio BAJETTI

GEOLOGO



Prof. Ing. Geol. Luigi MONTERISI

IL COORDINATORE DELLA SICUREZZA IN FASE DI PROGETTAZIONE



Ing. Gianluca CICIRIELLO

HG02

H - PROGETTO STRUTTURALE - OPERE PRINCIPALI

HG - CV17 - CAVALCAVIA SP. N. 183

RELAZIONE TECNICA DELL'OPERA

CODICE PROGETTO

PROGETTO

LIV. PROG.

N. PROG.

LO203

E

1801

NOME FILE

HG02_P03CV17STRRE01_B.PDF

REVISIONE

SCALA:

CODICE ELAB.

P03CV17STRRE01

B

-

C					
B	EMISSIONE A SEGUITO DI RAPPORTO INTERMEDIO DI VERIFICA ITCF-C186001-01-ATF-RA-00001	MARZO 2019	ING. STEFANIA RUGGIERI	ING. GAETANO RANIERI	ING. VALERIO BAJETTI
A	EMISSIONE	SETTEMBRE 2018	ING. STEFANIA RUGGIERI	ING. GAETANO RANIERI	ING. VALERIO BAJETTI
REV.	DESCRIZIONE	DATA	REDATTO	VERIFICATO	APPROVATO

INDICE

Sommario

1. PREMESSA	2
2. NORMATIVA DI RIFERIMENTO	5
3. MATERIALI	6
3.1 CALCESTRUZZO	6
3.2 ACCIAIO	13
4. SOTTOSCRIZIONE DELL'ELABORATO DA PARTE DEL R.T.P	14

1. PREMESSA

Si considera un'opera di scavalcamento da realizzarsi nell'ambito dei lavori per il collegamento tra la S.S.11 a Magenta e la Tangenziale Ovest di Milano, tratto Albairate – Ozzero. Il ponte copre una luce di calcolo uguale a 24.2m.

La sede stradale della carreggiata ha una larghezza compresa tra 8.60 e 8.80 m circa; separata da un cordolo centrale di 0.75m vi è una pista ciclabile di 3.0m di larghezza. Lato ciglio stradale è presente un cordolo della larghezza di 1.25 m, lato pista di 0.50m. A questi cordoli sono ancorati, a mezzo di tirafondi, le barriere metalliche bordo ponte in acciaio e le reti metalliche di protezione.

L'impalcato è realizzato con 5 travi prefabbricate a cassone tipo V120, poste ad interasse 2.50 m. Le travi, calcolate in semplice appoggio, sono caratterizzate da un'altezza di 1.20 m e una luce di calcolo 24.20 m, vengono solidarizzate in opera con una soletta collaborante dello spessore di 0.25 m, traversi in testata e due in campata dello spessore di 0.40 m.

Il peso della soletta e dei sovraccarichi permanenti si suddivide tra le varie travi proporzionalmente alle rispettive larghezze di soletta collaborante.

I carichi accidentali sono quelli previsti dal regolamento per ponti stradali D.M. 17 gennaio 2018; essi si ripartiscono fra le travi mediante il metodo di Massonnet-Guyon, i cui parametri flessionale e torsionale sono calcolati facendo riferimento alle caratteristiche statico-geometriche della sezione di solo calcestruzzo di una trave interna, con la rispettiva soletta collaborante.

Le verifiche di stabilità si svolgono sulla trave che risulta complessivamente più sollecitata; le armature così determinate vengono estese a tutte le travi dell'impalcato.

Si tiene conto della diversa classe di calcestruzzo fra trave e soletta, tramite un coefficiente d'omogeneizzazione pari al rapporto tra i rispettivi moduli elastici convenzionali di regolamento.

Le cadute di tensione nell'armatura di precompressione si scontano in parte sulla trave isolata e in parte sulla sezione composta, nelle proporzioni indicate in seguito in sede di verifica tensionale.

Alla sezione d'appoggio, in mancanza di sufficiente lunghezza d'ancoraggio dei trefoli, la verifica a taglio viene condotta in regime di c.a. ordinario.

Si assumono positivi i momenti che tendono le fibre inferiori delle travi e della soletta e le forze di compressione; per quanto riguarda le tensioni sono positive le compressioni.

Le ascisse che individuano le varie sezioni verificate hanno origine nell'asse appoggi.

L'impalcato è sostenuto alle estremità da 2 spalle, costituite da elementi monolitici in c.a.. Le spalle sono costituite da una elevazione principale dello spessore 1.20 m e da una zattera di fondazione rettangolare delle dimensioni spessore di 1.50m.

Le strutture di fondazione del ponte saranno del tipo profondo realizzate mediante pali trivellati di grosso diametro, collegati alla zattera di fondazione.

Si consultino per maggior chiarezza gli elaborati grafici di progetto: planimetria e profilo longitudinale dell'opera.

Le azioni considerate nel calcolo sono quelle tipiche delle strutture da ponte stradale soggetto alle azioni da traffico come previsto dalle "Nuove Norme tecniche per le costruzioni – D.M. 17 gennaio 2018".

Nella presente relazione si riporta il calcolo di verifica delle sottostrutture. Per la verifica dell'impalcato si rimanda alla relazione specifica.

Dal punto di vista sismico l'opera ricade nel comune di Abbiategrasso (MI).

Il sistema strutturale scelto è quello delle travi continue in sezione in c.a.p., con traversi di collegamento in testata e in campata. Le travi sono appoggiate su spalle mediante dispositivi di vincolo tradizionali.

La costruzione del cavalcavia avverrà in linea di massima seguendo le fasi costruttive descritte nel seguito. Saranno in primo luogo fabbricate le sottostrutture a sostegno dell'impalcato. Le spalle

laterali a sostegno dell'impalcato sono gettate in opera, con paraghiaia spesso 30 cm e di altezza variabile a causa dell'inclinazione trasversale del profilo stradale. Le spalle sono completate dai muri andatori e dal plinto di fondazione, sostenuto da un gruppo di pali ϕ 1000. I pali sono situati ad interasse di 3.0 m. Si disporranno quindi gli apparecchi di appoggio in acciaio-teflon, per mezzo dei quali le travi sono appoggiate alle sottostrutture. La posizione degli appoggi consente di ottenere la pendenza trasversale della soletta. Le travi prefabbricate saranno disposte in sede con l'ausilio di gru; quindi sar  gettata una soletta di cemento armato ordinario, di spessore 25 cm, realizzata mediante getto su predalles tralicciate che fungono da cassero perso.

La costruzione   ultimata disponendo le opere di finitura stradali, tra cui la pavimentazione di spessore 10 cm, l'eventuale ricarica e le barriere di protezione e i cordoli.

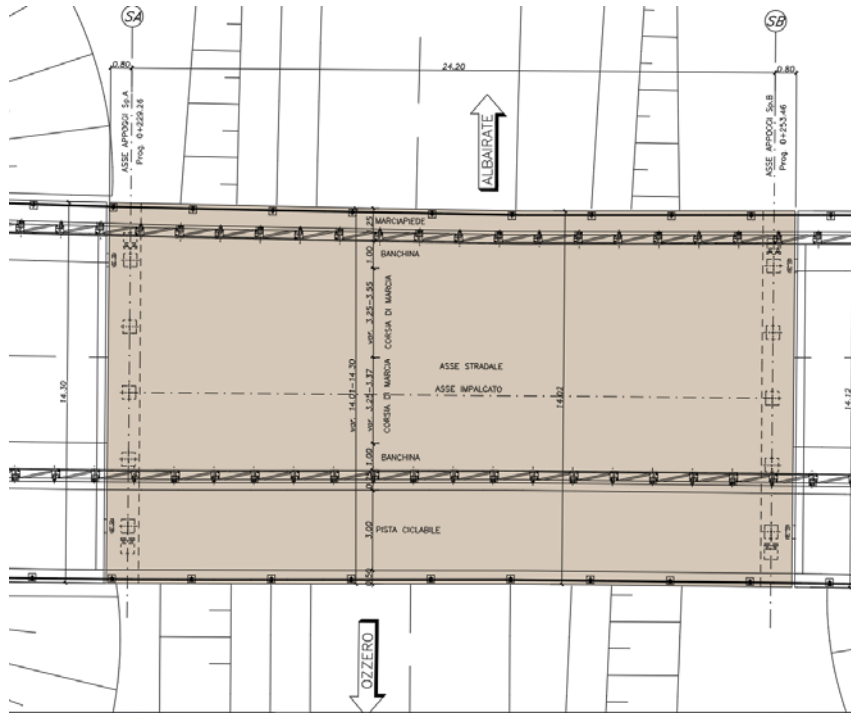


Figura 1: Pianta impalcato

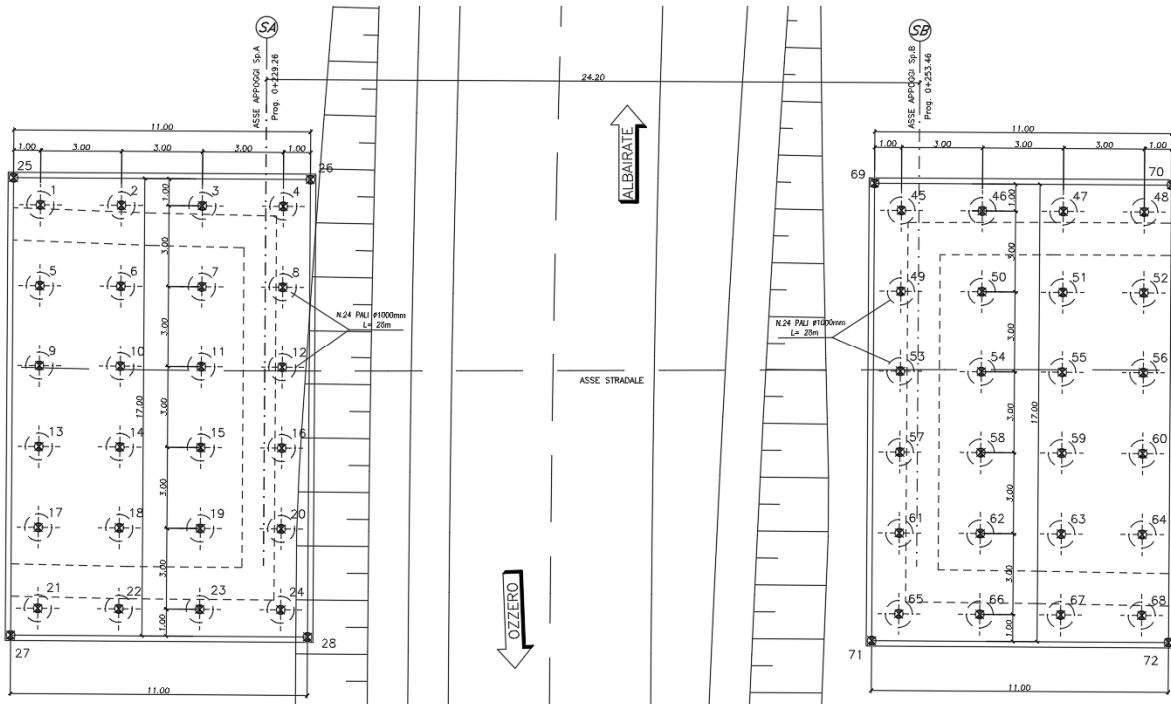


Figura 2: Pianta fondazioni

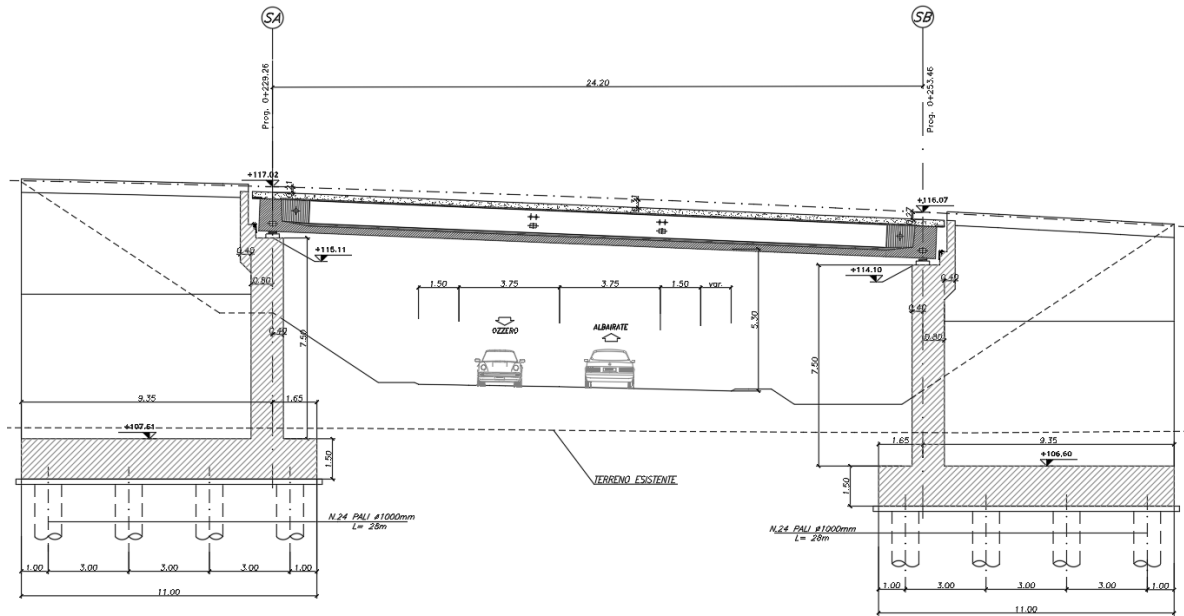


Figura 3: Profilo longitudinale

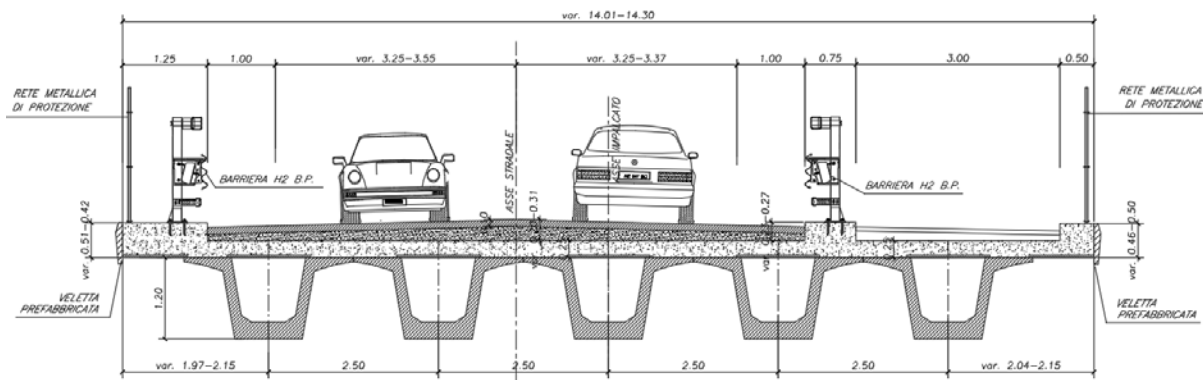


Figura 4: Sezione trasversale

2. NORMATIVA DI RIFERIMENTO

Le verifiche sono state eseguite secondo i metodi classici della scienza delle costruzioni e nel rispetto della seguente normativa:

- Legge 5/11/1971 n° 1086: “Norme per le discipline delle opere di conglomerato cementizio armato normale e precompresso ed a struttura metallica”.
- D.M. 17/01/2018: “Aggiornamento delle Norme tecniche per le costruzioni”.
- UNI EN 206:2016: “Calcestruzzo – Specificazione, prestazione, produzione e conformità”.
- UNI ENV 197 Parte 1a: “Cemento. Composizione, specificazioni e criteri di conformità”.
- Linee guida sul calcestruzzo strutturale - Presidenza del Consiglio Superiore dei Lavori Pubblici - Servizio Tecnico Centrale.
- UNI EN 197-1 giugno 2011: “Cemento: composizione, specificazioni e criteri di conformità per cementi comuni”.
- UNI EN 11104:2016: “Calcestruzzo: specificazione, prestazione, produzione e conformità”, Istruzioni complementari per l'applicazione delle EN 206-1”.

Ulteriori riferimenti normativi

- UNI EN 1990 (Eurocodice 0) – Aprile 2006: “Criteri generali di progettazione strutturale”;
- UNI EN 1991-1-1 (Eurocodice 1) – Agosto 2004 – Azioni in generale- Parte 1-1: “Pesi per unità di volume, pesi propri e sovraccarichi per gli edifici”;
- UNI EN 1991-2 (Eurocodice 1) – Marzo 2005 – Azioni sulle strutture- Parte 2: “Carico da traffico sui ponti”;
- UNI EN 1992-1-1 (Eurocodice 2) – Novembre 2005: “Progettazione delle strutture di calcestruzzo – Parte 1-1: “Regole generali e regole per gli edifici”;
- UNI EN 1993-1-1 (Eurocodice 3) – Ottobre 1993: “Progettazione delle strutture in acciaio – Parte 1-1: Regole generali e regole per gli edifici”;
- UNI EN 1998-1 (Eurocodice 8) – Marzo 2005: “Progettazione delle strutture per la resistenza sismica – Parte 1: Regole generali – Azioni sismiche e regole per gli edifici”;
- UNI EN 1998-2 (Eurocodice 8) – Febbraio 2006: “Progettazione delle strutture per la resistenza sismica – Parte 2: Ponti”.

3. MATERIALI

Il progetto sarà realizzato utilizzando i seguenti materiali:

3.1 CALCESTRUZZO

Magroni:

Classe di resistenza:	C12/15		
Resistenza a compressione cubica caratteristica	$R_{ck} =$	15	N/mm ²
Resistenza a compressione cilindrica caratteristica	$f_{ck} =$	12,45	N/mm ²
Classe di esposizione		X0	
Classe di consistenza slump:		S3	
Contenuto minimo di cemento:		150	daN/m ³
Rapporto A/C		≤ 0.60	

Pali di fondazione

Classe di resistenza:	C25/30		
Resistenza a compressione cubica caratteristica	$R_{ck} =$	30	N/mm ²
Resistenza a compressione cilindrica caratteristica	$f_{ck} =$	24,9	N/mm ²
Resistenza a compressione cilindrica media	$f_{cm} =$	32,9	N/mm ²
Resistenza a trazione semplice	$f_{ctm} =$	2,56	N/mm ²
Resistenza a trazione per flessione	$f_{ctm} =$	3,07	N/mm ²
Modulo elastico secante medio	$E_{cm} =$	31447	N/mm ²
Resistenza caratteristica a trazione semplice (5%)	$f_{ctk} =$	1,79	N/mm ²
Resistenza caratteristica a trazione semplice (95%)	$f_{ctk} =$	3,33	N/mm ²
Coefficiente di sicurezza SLU:	$\gamma_c =$	1,5	
Resistenza di calcolo a compressione cilindrica SLU:	$f_{cd} =$	14,1	N/mm ²
Resistenza di calcolo a trazione semplice (5%) - SLU:	$f_{ctd} =$	1,19	N/mm ²
Coefficiente di sicurezza SLE:	$\gamma_c =$	1,0	
Resistenza di calcolo a compressione cilindrica SLE:	$f_{cd} =$	24,9	N/mm ²
Resistenza di calcolo a trazione semplice (5%) - SLE:	$f_{ctd} =$	1,79	N/mm ²
Massime tensioni di compressione in esercizio:			
Combinazione rara	$\sigma_{c,ad} =$	14,94	N/mm ²
Combinazione quasi permanente	$\sigma_{c,ad} =$	11,21	N/mm ²
Classe di esposizione		XC2	
Classe di consistenza slump:		S4	
Contenuto minimo di cemento:		300	daN/m ³
Massima dimensione aggregato		32	mm
Copriferro		60	mm
Rapporto A/C		0,6	

Plinti di fondazione spalle e muri

Classe di resistenza:	C28/35		
Resistenza a compressione cubica caratteristica	$R_{ck} =$	35	N/mm^2
Resistenza a compressione cilindrica caratteristica	$f_{ck} =$	29,05	N/mm^2
Resistenza a compressione cilindrica media	$f_{cm} =$	37,05	N/mm^2
Resistenza a trazione semplice	$f_{ctm} =$	2,83	N/mm^2
Resistenza a trazione per flessione	$f_{ctm} =$	3,40	N/mm^2
Modulo elastico secante medio	$E_{cm} =$	32588	N/mm^2
Resistenza caratteristica a trazione semplice (5%)	$f_{ctk} =$	1,98	N/mm^2
Resistenza caratteristica a trazione semplice (95%)	$f_{ctk} =$	3,69	N/mm^2
<i>Coefficiente di sicurezza SLU:</i>	$\gamma_c =$	1,5	
Resistenza di calcolo a compressione cilindrica SLU:	$f_{cd} =$	16,5	N/mm^2
Resistenza di calcolo a trazione semplice (5%) - SLU:	$f_{ctd} =$	1,32	N/mm^2
<i>Coefficiente di sicurezza SLE:</i>	$\gamma_c =$	1,0	
Resistenza di calcolo a compressione cilindrica SLE:	$f_{cd} =$	29,1	N/mm^2
Resistenza di calcolo a trazione semplice (5%) - SLE:	$f_{ctd} =$	1,98	N/mm^2
Massime tensioni di compressione in esercizio:			
Combinazione rara	$\sigma_{c,ad} =$	17,43	N/mm^2
Combinazione quasi permanente	$\sigma_{c,ad} =$	13,07	N/mm^2
Classe di esposizione		XC2	
Classe di consistenza slump:		S4	
Contenuto minimo di cemento:		320	daN/m^3
Massima dimensione aggregato		32	mm
Copriferro		40	mm
Rapporto A/C		0,55	

Predalles:

Classe di resistenza:	C40/50		
Resistenza a compressione cubica caratteristica	$R_{ck} =$	50	N/mm^2
Resistenza a compressione cilindrica caratteristica	$f_{ck} =$	41,5	N/mm^2
Resistenza a compressione cilindrica media	$f_{cm} =$	49,5	N/mm^2
Resistenza a trazione semplice	$f_{ctm} =$	3,60	N/mm^2
Resistenza a trazione per flessione	$f_{ctm} =$	4,32	N/mm^2
Modulo elastico secante medio	$E_{cm} =$	35547	N/mm^2
Resistenza caratteristica a trazione semplice (5%)	$f_{ctk} =$	2,52	N/mm^2
Resistenza caratteristica a trazione semplice (95%)	$f_{ctk} =$	4,67	N/mm^2
<i>Coefficiente di sicurezza SLU:</i>	$\gamma_c =$	1,5	
Resistenza di calcolo a compressione cilindrica SLU:	$f_{cd} =$	23,5	N/mm^2
Resistenza di calcolo a trazione semplice (5%) - SLU:	$f_{ctd} =$	1,68	N/mm^2
<i>Coefficiente di sicurezza SLE:</i>	$\gamma_c =$	1,0	
Resistenza di calcolo a compressione cilindrica SLE:	$f_{cd} =$	41,5	N/mm^2
Resistenza di calcolo a trazione semplice (5%) - SLE:	$f_{ctd} =$	2,52	N/mm^2
Massime tensioni di compressione in esercizio:			
Combinazione rara	$\sigma_{c,ad} =$	24,90	N/mm^2
Combinazione quasi permanente	$\sigma_{c,ad} =$	18,68	N/mm^2
Classe di esposizione		XC4+XD1	
Classe di consistenza slump:		S4	
Contenuto minimo di cemento:		340	daN/m^3
Massima dimensione aggregato		16	mm
Copriferro		40	mm
Rapporto A/C		0,5	

Elevazioni spalle, muri, paragliaia

Classe di resistenza:	C32/40		
Resistenza a compressione cubica caratteristica	$R_{ck} =$	40	N/mm ²
Resistenza a compressione cilindrica caratteristica	$f_{ck} =$	33,2	N/mm ²
Resistenza a compressione cilindrica media	$f_{cm} =$	41,2	N/mm ²
Resistenza a trazione semplice	$f_{ctm} =$	3,10	N/mm ²
Resistenza a trazione per flessione	$f_{ctm} =$	3,72	N/mm ²
Modulo elastico secante medio	$E_{cm} =$	33643	N/mm ²
Resistenza caratteristica a trazione semplice (5%)	$f_{ctk} =$	2,17	N/mm ²
Resistenza caratteristica a trazione semplice (95%)	$f_{ctk} =$	4,03	N/mm ²
<i>Coefficiente di sicurezza SLU:</i>	$\gamma_c =$	1,5	
Resistenza di calcolo a compressione cilindrica SLU:	$f_{cd} =$	18,8	N/mm ²
Resistenza di calcolo a trazione semplice (5%) - SLU:	$f_{ctd} =$	1,45	N/mm ²
<i>Coefficiente di sicurezza SLE:</i>	$\gamma_c =$	1,0	
Resistenza di calcolo a compressione cilindrica SLE:	$f_{cd} =$	33,2	N/mm ²
Resistenza di calcolo a trazione semplice (5%) - SLE:	$f_{ctd} =$	2,17	N/mm ²
Massime tensioni di compressione in esercizio:			
Combinazione rara	$\sigma_{c,ad} =$	19,92	N/mm ²
Combinazione quasi permanente	$\sigma_{c,ad} =$	14,94	N/mm ²
Classe di esposizione		XC4+XD1	
Classe di consistenza slump:		S4	
Contenuto minimo di cemento:		360	daN/m ³
Massima dimensione aggregato		25	mm
Copriferro		40	mm
Rapporto A/C		0,45	

Soletta per impalcati:

Classe di resistenza:	C32/40		
Resistenza a compressione cubica caratteristica	$R_{ck} =$	40	N/mm ²
Resistenza a compressione cilindrica caratteristica	$f_{ck} =$	33,2	N/mm ²
Resistenza a compressione cilindrica media	$f_{cm} =$	41,2	N/mm ²
Resistenza a trazione semplice	$f_{ctm} =$	3,10	N/mm ²
Resistenza a trazione per flessione	$f_{ctm} =$	3,72	N/mm ²
Modulo elastico secante medio	$E_{cm} =$	33643	N/mm ²
Resistenza caratteristica a trazione semplice (5%)	$f_{ctk} =$	2,17	N/mm ²
Resistenza caratteristica a trazione semplice (95%)	$f_{ctk} =$	4,03	N/mm ²
<i>Coefficiente di sicurezza SLU:</i>	$\gamma_c =$	1,5	
Resistenza di calcolo a compressione cilindrica SLU:	$f_{cd} =$	18,8	N/mm ²
Resistenza di calcolo a trazione semplice (5%) - SLU:	$f_{ctd} =$	1,45	N/mm ²
<i>Coefficiente di sicurezza SLE:</i>	$\gamma_c =$	1,0	
Resistenza di calcolo a compressione cilindrica SLE:	$f_{cd} =$	33,2	N/mm ²
Resistenza di calcolo a trazione semplice (5%) - SLE:	$f_{ctd} =$	2,17	N/mm ²
Massime tensioni di compressione in esercizio:			
Combinazione rara	$\sigma_{c,ad} =$	19,92	N/mm ²
Combinazione quasi permanente	$\sigma_{c,ad} =$	14,94	N/mm ²
Classe di esposizione		XC4/XF2/XF4*	
Classe di consistenza slump:		S4	
Contenuto minimo di cemento:		360	daN/m ³
Massima dimensione aggregato		25	mm
Copriferro estradosso		55	mm
Rapporto A/C		0,45	

Baggioli:

Classe di resistenza:	C32/40		
Resistenza a compressione cubica caratteristica	$R_{ck} =$	40	N/mm^2
Resistenza a compressione cilindrica caratteristica	$f_{ck} =$	33,2	N/mm^2
Resistenza a compressione cilindrica media	$f_{cm} =$	41,2	N/mm^2
Resistenza a trazione semplice	$f_{ctm} =$	3,10	N/mm^2
Resistenza a trazione per flessione	$f_{ctm} =$	3,72	N/mm^2
Modulo elastico secante medio	$E_{cm} =$	33643	N/mm^2
Resistenza caratteristica a trazione semplice (5%)	$f_{ctk} =$	2,17	N/mm^2
Resistenza caratteristica a trazione semplice (95%)	$f_{ctk} =$	4,03	N/mm^2
<i>Coefficiente di sicurezza SLU:</i>	$\gamma_c =$	1,5	
Resistenza di calcolo a compressione cilindrica SLU:	$f_{cd} =$	18,8	N/mm^2
Resistenza di calcolo a trazione semplice (5%) - SLU:	$f_{ctd} =$	1,45	N/mm^2
<i>Coefficiente di sicurezza SLE:</i>	$\gamma_c =$	1,0	
Resistenza di calcolo a compressione cilindrica SLE:	$f_{cd} =$	33,2	N/mm^2
Resistenza di calcolo a trazione semplice (5%) - SLE:	$f_{ctd} =$	2,17	N/mm^2
Massime tensioni di compressione in esercizio:			
Combinazione rara	$\sigma_{c,ad} =$	19,92	N/mm^2
Combinazione quasi permanente	$\sigma_{c,ad} =$	14,94	N/mm^2
Classe di esposizione		XC3/XF1	
Classe di consistenza slump:		S4	
Contenuto minimo di cemento:		340	daN/m^3
Massima dimensione aggregato		25	mm
Copriferro		40	mm
Rapporto A/C		0,5	

Calcestruzzo per travi in c.a.p.

Classe di resistenza:	C45/55		
Resistenza a compressione cubica caratteristica	$R_{ck} =$	55	N/mm ²
Resistenza a compressione cilindrica caratteristica	$f_{ck} =$	45,65	N/mm ²
Resistenza a compressione cilindrica media	$f_{cm} =$	53,65	N/mm ²
Resistenza a trazione semplice	$f_{ctm} =$	3,83	N/mm ²
Resistenza a trazione per flessione	$f_{ctm} =$	4,60	N/mm ²
Modulo elastico secante medio	$E_{cm} =$	36416	N/mm ²
Resistenza caratteristica a trazione semplice (5%)	$f_{ctk} =$	2,68	N/mm ²
Resistenza caratteristica a trazione semplice (95%)	$f_{ctk} =$	4,98	N/mm ²
<i>Coefficiente di sicurezza SLU:</i>	$\gamma_c =$	1,5	
Resistenza di calcolo a compressione cilindrica SLU:	$f_{cd} =$	25,9	N/mm ²
Resistenza di calcolo a trazione semplice (5%) - SLU:	$f_{ctd} =$	1,79	N/mm ²
<i>Coefficiente di sicurezza SLE:</i>	$\gamma_c =$	1,0	
Resistenza di calcolo a compressione cilindrica SLE:	$f_{cd} =$	45,7	N/mm ²
Resistenza di calcolo a trazione semplice (5%) - SLE:	$f_{ctd} =$	2,68	N/mm ²
Massime tensioni di compressione in esercizio:			
Combinazione rara	$\sigma_{c,ad} =$	27,39	N/mm ²
Combinazione quasi permanente	$\sigma_{c,ad} =$	20,54	N/mm ²
Classe di esposizione		XC2/XA1	
Classe di consistenza slump:		S4	
Contenuto minimo di cemento:		350	daN/m ³
Massima dimensione aggregato		20	mm
Copriferro arm. Ord.		30	mm
Copriferro arm. Pretesa		50	mm
Rapporto A/C		0,5	

3.2 ACCIAIO

Acciaio per cemento armato:

Acciaio per cemento armato

Acciaio per cemento armato tipo B450C secondo D.M. 17.01.2018, avente le seguenti caratteristiche:

Tensione caratteristica di snervamento	$f_{yk} \geq$	450	N/mm ²
Tensione caratteristica di rottura	$f_{tk} \geq$	540	N/mm ²
Modulo elastico	$E_s =$	2.1E+05	N/mm ²
Coefficiente di sicurezza SLU:	$\gamma_s =$	1.15	
Resistenza di calcolo SLU:	$f_{sd} =$	391.30	N/mm ²
Tensione di calcolo SLE:	$\sigma_{y,ad} =$	360	N/mm ²

Deve rispettare i requisiti indicati nella seguente tabella

CARATTERISTICHE	REQUISITI	FRATTILE (%)
Tensione caratteristica di snervamento f_{yk}	$\geq f_{v, nom}$	5.0
Tensione caratteristica di rottura f_{tk}	$\geq f_{t, nom}$	5.0
$(f_t/f_y)_k$	≥ 1.15	10.0
$(f_v/f_{v, nom})_k$	< 1.35	10.0
Allungamento $(A_{gt})_k$:	$\geq 7.5 \%$	10.0
Diametro del mandrino per prove di piegamento a 90 ° e successivo raddrizzamento senza cricche:		
$\phi < 12$ mm	4 ϕ	
12 ≤ ϕ ≤ 16 mm	5 ϕ	
per 16 < ϕ ≤ 25 mm	8 ϕ	
per 25 < ϕ ≤ 40 mm	10 ϕ	

Acciaio per armatura da precompressione:

Tensione caratteristica di rottura	$f_{ptk} > 1860$ N/mm ²
Tensione caratteristica all'1%	$f_{p(1)k} > 1670$ N/mm ²
Tensione di tesatura trefoli	$ss_{pi} = 1425$ N/mm ²

4. SOTTOSCRIZIONE DELL'ELABORATO DA PARTE DEL R.T.P

STUDIO CORONA S.r.l.

I.T. S.r.l.

CONSORZIO UNING

SETAC S.r.l.

DOTT. DANILO GALLO

ECOPLAN S.r.l.

E&G S.r.l.

ARKE' INGEGNERIA S.r.l.

ING. RENATO DEL PRETE
